

□ 원 저 □

결핵성 림프절에서 $\gamma\delta$ T 림프구의 분포에 관한 연구⁺

서울대학교 의과대학 내과학교실 및 결핵연구소

신태선 · 유철규 · 김영환 · 한성구
심영수 · 김건열 · 한용철^{**}

= Abstract =

The Distribution of $\gamma\delta$ T Cells in Tuberculous Lymphadenopathy

Tae Sun Shim, M.D., Chul-Gyu Yoo, M.D., Young Whan Kim, M.D., Sung Koo Han, M.D.,
Young-Soo Shim, M.D., Keun Youl Kim, M.D.* and Yong Choi Han, M.D.**

Department of Internal Medicine and Tuberculosis Research Institute,
Seoul National University College of Medicine, Seoul, Korea

Background : The antigen-specific receptor on the surface of most peripheral T lymphocytes is a disulfide-linked heterodimer composed of α and β subunits, noncovalently associated with CD3 polypeptides. Recently, a novel type of CD3-associated heterodimer was described on a T cell subset that does not express CD4 or CD8 molecules. This second type of TCR dimer is composed of chains encoded for by the γ - and δ -TCR genes. These cells may exert both cytotoxic and lymphokine producing functions. Although it was reported that some $\gamma\delta$ -TCR might recognize an MHC-linked determinant, the function or physiologic ligand for this new receptor is not yet clear. It was found that $\gamma\delta$ -TCR can react with 65 kD heat shock protein of *M. tuberculosis*, which suggests the possible protective role of $\gamma\delta$ T lymphocytes against tuberculosis. In our previous study, there was neither the increase in number nor the functional activation of $\gamma\delta$ T cells in the peripheral blood from patients with pulmonary tuberculosis. Now we report the distribution of $\gamma\delta$ T cells in the regional sites of *M. tuberculosis* infection, especially tuberculous lymphadenitis.

Methods : Lymph nodes from patients with pathologically-proven tuberculous lymphadenopathy ($n=5$) and reactive hyperplasia ($n=3$) were used. Tissues were frozen in liquid nitrogen immediately after removal and stored below -70°C . The cryostat sections of these frozen specimens were stained with anti-Leu-4 Ab, Identi-T TCR $\delta 1$, and Identi-T $\beta F1$. The number of positively stained cells were counted at high power field.

Results : The infiltration of $\gamma\delta$ T cells was significantly higher in the lymph nodes from patients

+ 본 연구는 1992년도 서울대학교병원 지정연구비의 보조로 이루어 졌음.

* 현재는 단국대학교 의과대학 내과 근무

** 현재는 삼성의료원 내과 근무

with tuberculous lymphadenopathy than that with reactive hyperplasia (16.3 = 10.3% vs. 1.7 = 1.5%).

Conclusion : These results suggest that $\gamma\delta$ T cells may play a role in the defense against M. tuberculosis infection, especially in the regional sites of infection.

Key Words: Tuberculosis, Lymph Node, $\gamma\delta$ T cell

서 론

국내 폐결핵 환자의 유병률은 체계적인 결핵관리로 1990년에 1.8%¹⁾까지 감소하였지만 아직도 선진국에 비하면 높은 편이다. 최근 서구에서도 후천성 면역결핍증 후군 환자의 증가와 함께 폐결핵의 유병률이 다시 증가하여 큰 사회적 문제가 되고 있다. 결핵균에 감염되면 개개인의 면역상태에 따라 다양한 임상경과를 거치게 되는데 결핵균 감염에 대한 신체의 방어기전에서 세포매개성 면역기전이 중요한 역할을 하는 것으로 잘 알려져 있다. T 림프구는 세포매개성 면역기전에서 중추적 역할을 하는 세포이다.

T 림프구는 세포표면에 있는 CD3와 비공유결합되어 있는(nonconvalently linked) T 림프구 수용체(T cell receptor, 이하 TCR로 약함)가 항원전달세포(antigen presenting cell)의 세포표면에 있는 주조직항원(MHC)과 결합하여 항원을 인지하는 것으로 알려져 있다. 과거부터 TCR은 α 와 β 폴리펩타이드가 결합된 heterodimer로 알려져 왔다. 최근에 $\alpha\beta$ -TCR(TCR-2)과 다른 γ 와 δ 의 두 폴리펩타이드로 구성된 $\gamma\delta$ TCR를 갖는 T 림프구가 발견되어 기능과 구조에 관해 많은 사람의 관심을 끌고 있다. $\gamma\delta$ T 림프구는 정상인 말초혈액 T 림프구의 1 ~10%^{2,3)}를 차지하며, 그 외의 림프기관에서도 비슷한 분포를 나타내고 있음이 밝혀졌다. $\gamma\delta$ T 림프구의 비특이적 세포살해능과 Lymphokine 생성능⁴⁾이 알려져 있지만 아직 자세한 기능은 밝혀지지 않은 상태이다.

최근에 여러가지 자극에 반응하여 세포내에서 증가하는 heat shock protein(이하 HSP으로 약함)이 여러 병원체의 주요 항원이 되며, $\gamma\delta$ T 림프구가 결핵균의 65kD HSP와 반응한다는 보고가 있어⁵⁾, $\gamma\delta$ T 림프구가 결핵균에 대한 방어기전에 관여할 가능성을 시사하고 있다.

반면에 본 교실의 연구와 다른 연구에 의하면 폐결핵 환자의 말초혈액에서 $\gamma\delta$ T 림프구의 숫자 증가나 기능의 활성화가 관찰되지 않아⁶⁾ 폐결핵 환자에서 $\gamma\delta$ T 림프구는 전신적으로 활성화되지 않고 국소병변에서 방어기능을 나타내는 것으로 생각할 수 있다. 이에 저자들은 일차적으로 결핵의 국소병변으로 조직을 얻기가 쉬운 결핵성 림프절에서 $\gamma\delta$ T 림프구의 분포를 관찰하고자 본 연구를 시행하였다.

대상 및 방법

1. 대상

1991년 3월부터 1991년 10월까지 조직검사를 시행하여 결핵성 림프절염(n=5)과 반응성 과형성(reactive hyperplasia)(n=3)으로 진단된 환자의 림프절을 대상으로 하였다.

2. 방법

신선한 조직을 얻은 즉시 -70°C의 액화질소에 얼려 보관하였다. 얼린 조직을 4-6μm의 두께로 얇게 연속절편을 내어 슬라이드를 4장씩 만들었다. 염색에 사용된 일차 단일클론 항체는 anti-Leu-4 Ab(Becton & Dickinson, USA), Identi-T TCR δ 1(T Cell Sciences, USA)과 Identi-T β F1(T Cell Sciences, USA)를 사용하였고 염색에는 DAKO사의 LSAB Kit를 사용하였다. 연속절편의 나머지 1장은 H & E염색을 시행하여, 단일클론항체로 염색한 3장의 슬라이드와 함께 광학현미경으로 관찰하였다. 연속절편의 같은 부위를 400배 배율하에서 관찰하여 총 T 림프구, $\alpha\beta$ T 림프구, 그리고 $\gamma\delta$ T 림프구의 수를 세어 $\alpha\beta$ T 림프구와 $\gamma\delta$ T 림프구의 비율을 계산하였다.

3. 통계처리 및 결과분석

통계처리 및 자료의 분석은 SPSSPC⁺ 통계 package

Table 1. Comparison of $\alpha\beta$ and $\gamma\delta$ T Cell Ratio between Reactive Hyperplasia and Tuberculous Lymphadenopathy Group

	$\alpha\beta$ T cell ratio(%)	$\gamma\delta$ T cell ratio(%)
Reactive hyperplasia	69.3±28.3	1.7±1.5
Tuberculous lymphadenopathy	76.4±19.8	16.3±10.3

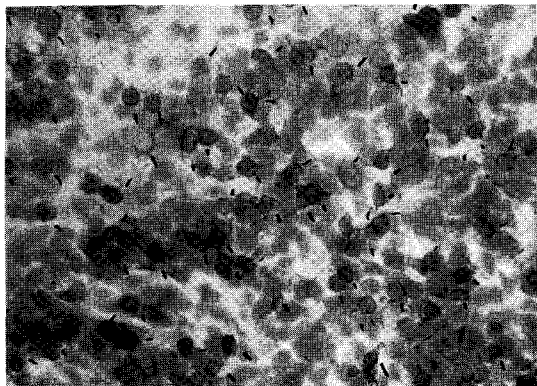


Fig. 1. Immunohistochemical staining for $\gamma\delta$ T cell in lymph nodes from patients with tuberculous lymphadenopathy. Dots indicate positively-stained $\gamma\delta$ T cells.

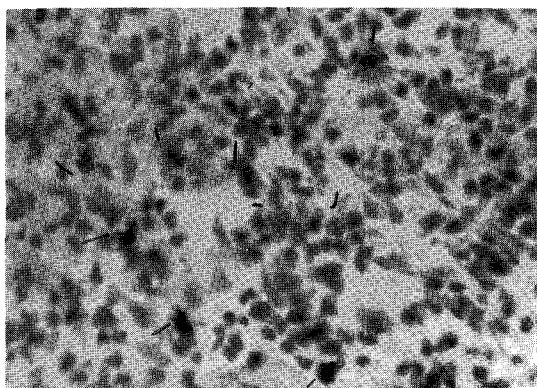


Fig. 2. Immunohistochemical staining for $\gamma\delta$ T cell in lymph nodes from patients with reactive hyperplasia. Dots indicate positively-stained $\gamma\delta$ T cells.

를 이용하였으며, 유의성 검정은 Mann-Whitney U test를 사용하였다.

결과

반응성 과형성 림프절에서는 총 T 림프구중 $\gamma\delta$ T 림프구의 비율이 1.7 ± 1.5%였고 결핵성 림프절에서는 $\gamma\delta$ T 림프구가 전체 T 림프구의 16.3 ± 10.3%를 차지하고 있어 결핵성 림프절에서 반응성 과형성 림프절에 비해 $\gamma\delta$ T 림프구의 침윤이 유의하게 증가되어 있었다 ($p<0.05$, Table 1, Fig. 1, 2).

고찰

항원을 인식하는데 중요한 TCR는 α 와 β 의 두 폴리펩타이드로 이루어진 $\alpha\beta\gamma$ heterodimer로 알려져 있었는데, 최근에 이와 다른 γ 와 δ 의 두 폴리펩타이드로 이루어진 $\gamma\delta$ 수용체(TCR-1)를 갖는 T 림프구가 발견되어 $\gamma\delta$ T 림프구로 명명되었다^{7,8)}. $\gamma\delta$ T 림프구는 세포의 표면에 CD2, CD5, CD7의 표식자를 갖고 있지만 CD1, CD4, CD28, CD11b, CD16등은 부분적으로 소유하고 있는 이질적인 세포의 집단이다²⁾. $\gamma\delta$ T 림프구 발견 초기에는 흉선에 있는 $\gamma\delta$ T 림프구가 모두 세포 표면에 CD4와 CD8을 가지고 있지 않아서 이중음성(CD4/CD8 double negative)을 $\gamma\delta$ T 림프구의 특징적인 소견으로 생각하였으나 그 후 비장의 $\gamma\delta$ T 림프구의 50%, 말초 혈액 $\gamma\delta$ T 림프구의 30% 정도가 CD8 양성임이 밝혀져 이중음성이 $\gamma\delta$ T 림프구의 공통적인 특징이 아닌 것 이 밝혀졌다⁹⁾.

사람에서는 $\gamma\delta$ T 림프구는 흉선, 편도, 림프절, 비장 등의 조직화된 림프선 장기와 장 또는 피부에 산재한 림프조직에 1~10%²⁾의 빈도로 균등하게 분포하고 있다. 반면에 mouse에서는 조직화된 림프선 조직(비장, 임파절, 흉선등)이나 말초혈액에는 낮은 비율(5% 이하)로 분포하지만 상피세포를 갖는 기관들, 즉, 피부, 소장, 그리고 생식기관(자궁, 질) 등에 많이 존재하는 국소적 우세를 보여주고 있다. 또한 표피의 수지상세포도 $\gamma\delta$ TCR를 갖고 있으며, 폐의 총 림프구 중 $\gamma\delta$ T 림프구의 비율이 8-20%를 차지하여 정상 림프조직(1~10%) 보다 높

은 비율을 나타내고 있다¹⁰. $\gamma\delta$ T 림프구의 다양성과 함께 mouse에서의 이러한 국소 장기 우세성은 $\gamma\delta$ T 림프구가 계통발생학적으로 아주 오래된 방어기전으로서 세포의 원상태를 감시하거나, 변형되거나 세균이 침입한 세포를 파괴하는데 관여함을 시사하는 소견이다¹¹. 즉, 상피세포층에 많은 수의 $\gamma\delta$ T 림프구가 존재하는 mouse에서는 병원균의 입구인 상피세포에서 $\gamma\delta$ T 림프구가 일차적인 방어기전에 관여하리라 생각된다.

거의 모든 생물에서 유전자 염기서열 및 아미노산 서열이 잘 보존되어 있는 HSP이 여로 병원체의 중요 항원으로 작용하는 사실이 알려졌는데, $\gamma\delta$ T 림프구가 결핵균의 65kD HSP과 반응한다는 보고는⁵, $\gamma\delta$ T 림프구가 결핵균에 대한 방어기전에 관여할 가능성을 시사하는 소견이라 하겠다. 또한 일차 M. tuberculosis 접종시에는 $\gamma\delta$ T 림프구가 증가하지만 이차로 M. tuberculosis 접종 후에는 $\gamma\delta$ T 림프구가 증가하지 않는다는 사실로 부터 $\gamma\delta$ T 림프구는 결핵균 항원 특이적인 $\alpha\beta$ T 림프구가 체내에서 증가되기 전에 결핵균 항원에 반응하는 것으로 생각할 수 있다.

본 교실의 연구와 다른 연구에 의하면 폐결핵 환자의 말초혈액에서 $\gamma\delta$ T 림프구의 숫자 증가나 기능의 활성화가 관찰되지 않아 폐결핵 환자에서 $\gamma\delta$ T 림프구는 전신적으로 활성화되지 않음을 알 수 있어⁶, $\gamma\delta$ T 림프구는 국소병변에서 결핵균에 대한 방어기전에 관여할 가능성을 생각할 수 있고 이는 결핵균에 감염된 국소병변에서 $\gamma\delta$ T 림프구가 증가된 사실로 뒷바침된다. 즉, M. tuberculosis로 immunize시킨 mice의 draining 림프절에서 $\gamma\delta$ T 림프구의 수와 활성도가 증가되어 있고¹², 결핵성 늄막염에서 늄막액의 $\gamma\delta$ T 림프구가 증가되어 있으며¹³, lepromin 피하주사시 조직의 $\gamma\delta$ T 림프구가 전체 T 림프구의 25~30%를 차지하여 정상 조직에서보다 5~8배 증가하는 사실들이 알려져 있다¹⁴.

Inoue 등¹⁵은 mice의 복강내에 생 결핵균을 투여하고 복수, 림프절, 비장 등에서 $\gamma\delta$ T 림프구를 관찰하였다. 결핵균은 28일째에 최고로 증가하였고 그후 점차 감소하였다. 7일째 복강내의 T 림프구 중 25%가 CD4 음성, CD8 음성이었고 이중 대다수가 $\gamma\delta$ T 림프구였다. 그런데 28일째에는 오히려 $\alpha\beta$ T 림프구가 증가하고 $\gamma\delta$ T 림프구의 비율은 오히려 감소하였다. 이런 현상은 림프절

과 비장에서도 마찬가지였다. 이는 $\gamma\delta$ T 림프구가 결핵균 감염 초기의 면역기전에 관여함을 시사하는 소견이다. 그러나 EB 바이러스에 의한 전염성 단핵구증 환자의 말초혈액에서 $\gamma\delta$ T 림프구는 급성기에 증가하고 회복기에도 여전히 증가($\alpha\beta$ T 림프구의 감소로 $\gamma\delta$ T 림프구의 비율은 상대적으로 더 증가함)한 상태로 지속되어 위의 결과와는 상반된 결과를 보이고 있다³. 또한 본 연구에서도 반응성 과형성 림프절에서는 총 T 림프구 중 $\gamma\delta$ T 림프구의 비율이 $1.7 \pm 1.5\%$ 였고 결핵성 림프절에서는 $\gamma\delta$ T 림프구가 전체 T 림프구의 $16.3 \pm 10.3\%$ 를 차지하고 있어 결핵성 림프절에서 반응성 과형성 림프절에 비해 $\gamma\delta$ T 림프구의 침윤이 유의하게 증가되어 있었다. 이상의 결과로 $\gamma\delta$ T 림프구가 결핵균 감염 국소 병변부위에서 방어기전에 관여할 가능성이 있을 것으로 생각되지만 국소 결핵 병변내의 $\gamma\delta$ T 림프구의 숫자 증가가 결핵에 대한 방어기전과는 무관하게 이차적인 부수 현상일 가능성을 배제할 수 없어 향후 국소 결핵 병변에서의 $\gamma\delta$ T 림프구 기능에 관한 연구가 필요 할 것으로 생각된다.

요 약

연구배경 : 최근에 $\gamma\delta$ T 림프구가 결핵균의 항원과 반응함이 알려져 $\gamma\delta$ T 림프구가 결핵균에 대한 방어기전에 관여할 가능성이 제시되고 있다. 본 교실의 연구와 다른 연구에 의하면 폐결핵 환자의 말초혈액에서 $\gamma\delta$ T 림프구의 숫자 증가나 기능의 활성화가 관찰되지 않아 폐결핵 환자에서 $\gamma\delta$ T 림프구는 전신적으로 활성화되지 않고 국소병변에서 방어기능을 나타내는 것으로 생각할 수 있다. 이에 저자들은 일차적으로 결핵의 국소병변으로 조직을 얻기 위해 $\gamma\delta$ T 림프구의 분포를 관찰하고자 본 연구를 시행하였다.

방법 : 조직검사상 결핵성 림프절엽(n=5)과 반응성 과형성(reactive hyperplasia) (n=3)으로 진단된 환자의 림프절을 대상으로 CD4, $\alpha\beta$ TCR, $\gamma\delta$ TCR에 대한 단일 클론항체를 이용해 면역조직화학검사를 시행하였다.

결과 : 반응성 과형성 림프절에서는 총 T 림프구 중 $\gamma\delta$ T 림프구의 비율이 $1.7 \pm 1.5\%$ 였고 결핵성 림프절에서는 $\gamma\delta$ T 림프구가 전체 T 림프구의 $16.3 \pm 10.3\%$ 를 차

지하고 있어 결핵성 림프절에서 반응성 과형성 림프절에 비해 $\gamma\delta$ T 림프구의 침윤이 유의하게 증가되어 있었다($p<0.05$).

결론 : $\gamma\delta$ T 림프구가 결핵균 감염 국소 병변부위에서 방어기전에 관여할 가능성이 있을 것으로 생각되고 향후 국소 결핵 병변에서의 $\gamma\delta$ T 림프구 기능에 관한 연구가 필요할 것으로 생각된다.

REFERENCES

- 1) 홍영표: 제 6차 한국 결핵 실태조사 결과. 1990
- 2) Groh V, Porcelli S, Fabbi M, Lanier LL, Picker LJ, Warnke RA, Bhan AK, Strominger JL, Brenner MB: Human lymphocytes bearing T cell receptor $\gamma\delta$ are phenotypically diverse and evenly distributed throughout the lymphoid system. *J Exp Med* **169**:1277, 1989
- 3) Paoli PD, Gennari D, Martelli P, Cavarzerani V, Comoretto R, Santini G: $\gamma\delta$ T cell receptor-bearing lymphocytes during EBV infection. *J Infect Dis* **161**:1013, 1990
- 4) Brenner MB, McLean J, Dialynas DP, Strominger JL: Identification of a putative second T-cell receptor. *Nature* **322**:145, 1986
- 5) Born W, Happ MP, Dallas A, Reardon C, Kubo R, Shinnick T, Brennan P, O'Brien R: Recognition of heat shock proteins and $\gamma\delta$ cell function. *Immunol Today* **11**:40, 1990
- 6) 심태선, 유철규, 김영환, 한성구, 심영수, 김건열, 한용철: 폐결핵환자의 말초혈액에서의 $\gamma\delta$ T 림프구에 관한 연구. *결핵 및 호흡기질환* **41**:239, 1994
- 7) Raulet DH: The structure, function, and molecular genetics of the $\gamma\delta$ T cell receptor. *Annu Rev Immunol* **7**:175, 1989
- 8) Brenner MB, McLean J, Scheft H, Riberdy J, Ang SL, Seidman JG, Delvin P, Krangel MS: Two forms of the T-cell receptor $\gamma\delta$ protein found on peripheral blood cytotoxic T lymphocytes. *Nature* **325**:689, 1987
- 9) Bucy RP, Chen CH, Cooper MD: Tissue localization and CD8 accessory molecule expression of $\gamma\delta$ T cells in humans. *J Immunol* **142**:3045, 1989
- 10) Augustin A, Kubo RT, Sim GK: Resident pulmonary lymphocytes expressing the $\gamma\delta$ T-cell receptor. *Nature* **340**:20, 1989
- 11) Kabelitz D, Bender A, Schondelmaier S, Schoel B, Kaufmann SH: A large fraction of human peripheral blood $\gamma\delta^+$ T cells is activated by *Mycobacterium tuberculosis* but not by its 65kD heat shock protein. *J Exp Med* **171**:667, 1990
- 12) Janis EM, Kaufmann SH, Schwartz RH, Pardoll DM: Activation of $\gamma\delta$ T cells in the primary immune response to *Mycobacterium tuberculosis*. *Science* **244**:713, 1989
- 13) Okubo Y, Kusamas, Yano A: PPD-specific proliferative response in humans. *Microbiol Immunol* **26**:511, 1982
- 14) Modlin RL, Pirmez C, Hofman FM, Torigian V, Uyemura K, Rea TH, Bloom BR, Brenner MB: Lymphocytes bearing antigen-specific $\gamma\delta$ T-cell receptors accumulate in human infectious disease lesions. *Nature* **339**:544, 1989
- 15) Inoue T, Yoshikai Y, Matsuzaki G, Nomoto K: Early appearing $\gamma\delta$ -bearing T cells during infection with Calmette Guerin bacillus. *J Immunol* **146**:2754, 1991